

大阪大学工学部 正員 前田幸雄
 大阪大学工学部 正員 林 正
 川田工業(株) 正員 前田研一

1. まえがき 本研究は 片持梁工法によって架設される大径斜張橋の非線形解析法に関する諸問題を指
 摘、検討するものである。本文では まず、ケーブル部材の所要プレストレス、および、それに対応する主桁の
 所要キャンバーの算定法を提案する。さらに、算定した所要プレストレスを与える無応力長の計算式を含む、放
 物線ケーブル部材の計算式を提案する。

2. 所要プレストレスとキャンバー

(a) 主桁モデル 事前に想定し

た死荷重時に分布すべき核モメント

$$M_w = M \pm \frac{B}{A} N \quad (1)$$

(A: 断面慣性, B: 断面係数)

を図-1の主桁モデルに与える各段
 のケーブルの水平張力 H_i ($i=1, 2, \dots, n$)
 を算定し、それぞれそのまま所要プレ
 ストレスの水平成分とするために、
 その荷重状態で主桁モデルが所定の
 完成形状となるような所要のキャン
 バーを施すことを考える。これを算定
 する際、片持梁工法における中央併
 合用桁の両端点の核モメント値が
 最終的に零となる制約条件を有する
 径周連続梁を対象とするか、ある
 いは、最初から両端点に強制的にヒ
 ンジを挿入したゲルバー梁を対象と
 するかとの2種の方法が考えられるが、
 図-2から解るように、その簡便性、
 合理性から、ここでは 後者を考え
 る。ただし、この場合、両ヒンジ点
 で隣接ジョイントのためみ角の適合
 を一般には満足しないことから、解
 析上はもちろん、設計、製作、架設
 上の適切な処理を必要とするが、困
 難な障害ではありえない。

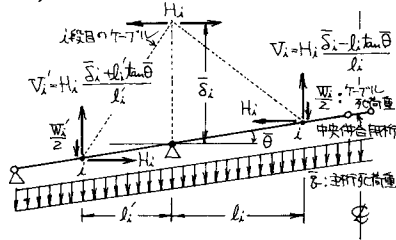


図-1 主桁モデル

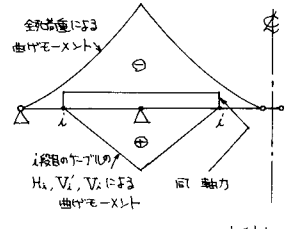


図-2 ケルバー梁の曲げモメント軸力

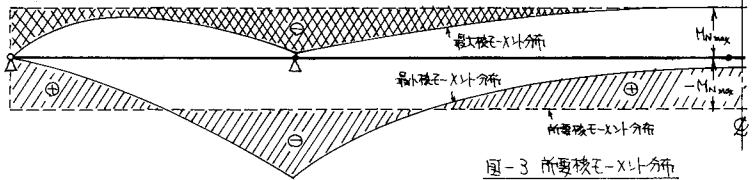
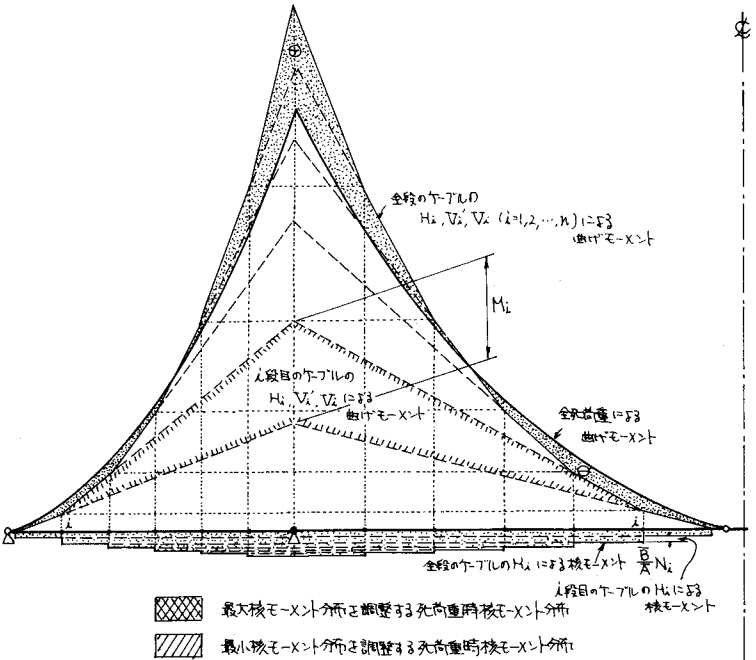


図-3 所要核モメント分布



最大核モメント分布と調整する死荷重時核モメント分布
 最小核モメント分布と調整する死荷重時核モメント分布

図-4 所要プレストレスの図解法

(b) 所要プレストレス 図-3
 に示すように、活荷重に対する最大
 最小核モメント分布から、死荷重
 時の所要の核モメント分布をま

ず、想定する。そして、その分布に可能な限り適応する核モーメント分布を与える各段のケーブルのプレストレスの水平成分 H_i の所要値を算定する簡便かつ、合理的な手法として、図-4に示すような図解法を適用する。図-1, 図-4の記号を用いて、 H_i は次式で与えられる。

$$H_i = \frac{M_i}{\delta_i} = -N_i \quad (i=1, 2, \dots, n) \quad (2)$$

なお、非線形問題では当然、死荷重時の核モーメント分布に対する活荷重による核モーメント分布の重ね合わせが完全には成立しないため、大径間架橋の場合、ある程度の再調整が必要となる場合を予測される。

(c) 所要キャンバー 図-5に示すように、算定された H_i , および、それによる V_i, V_i ($i=1, 2, \dots, n$) と全死荷重を載荷した荷重状態、主桁モデルが所定の完成形状になるための所要キャンバーに対応する無応力形状の算定には大径間架橋の場合のように非線形性を有すると思われる場合、次のような反復収束計算によるべらな。すなわち、第 m 回目の計算に用いられる仮定の主桁無応力形状の各節点に関する水平、鉛直座標ベクトル X_m, Y_m は完成形状のそれら X, Y として、

$$X_m^{(m)} = X_m^{(m-1)} - \{X_m^{(m-1)} + ID_x^{(m-1)}\} - \tilde{X}, \quad Y_m^{(m)} = Y_m^{(m-1)} - \{Y_m^{(m-1)} + ID_y^{(m-1)}\} - \tilde{Y} \quad (3)$$

なる式で与えられる。ここに、 ID_x, ID_y はそれぞれ、荷重載荷によって生ずる各節点の水平、鉛直変位ベクトルであり、各回の計算における非線形解析によって求められる。

3. ケーブル部材の計算式

(a) 放物線ケーブル部材 プレストレスされたケーブルを有する構造物の解析においては、ケーブル部材に無応力長という概念を導入しなければならない。さらに、この無応力長と着目した変形状態での形状から計算される各段のケーブル部材の主桁定着点における張力が死荷重時の完成形状で、算定した所要プレストレスと等価でなければならない。また、大径間架橋の場合、ケーブルの長大化、重量化に伴い、自重の分布によるサグの影響も考えなければならない。したがって、ここでは、図-6に示す放物線ケーブル部材を対象として、ケーブル部材の無応力長、および、材端力ベクトル、接線剛性マトリクスの計算式を導出する。

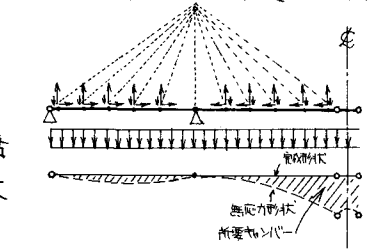


図-5 所要キャンバー

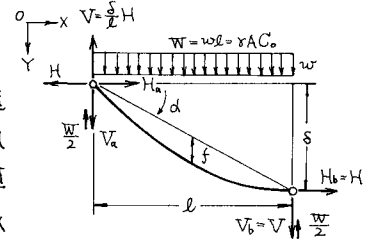


図-6 放物線ケーブル部材

(b) ケーブル方程式 任意の着目した変形状態で、図-6に示すような形状の放物線ケーブル部材に関して、

$$C - (C_0 + \Delta C) = 0 \quad [C: \text{ケーブル長}, \Delta C: \text{ケーブルの伸長}, C_0: \text{ケーブルの無応力長}] \quad (4)$$

なるケーブル方程式が一種の適合条件式として与えられる。

(c) 無応力長 死荷重時の完成形状で、 H, l, s が既知であることより、次のような関係式

$$C_0 = \frac{8H}{8A} n, \quad n = \frac{l}{\delta} \quad [\delta: \text{ケーブルの単位重量}, A: \text{ケーブルの断面積}, n: \text{サグ比}] \quad (5)$$

を用いれば、(4)式は n のみの関数となり、これを解くことにより、 n 、そして、無応力長 C_0 が求められる。

(d) 材端力ベクトルと接線剛性行列 文献(1)~(3)に発表済であるので、本文では、省略することにする。

4. あとがき 本文で提案した算定法、および、計算式の妥当性を確認したデータについては、当日、発表する。本研究により、大径間架橋の非線形形状が、実際設計、製作、架設に対応して、より厳密に把握できると思われる。なお、大日本土木学会(株)・片岡幸悟氏の実験設計面からの適切な助言に対し、記して謝意を表す。

[参考文献] 1) 前田 林 前田: サグを考慮したケーブル部材の計算式, 土木学会論文報告集, No. 257, 1977. 2) Y. Maeda, H. Hagiwara, & K. Maeda: Non-linear Analysis of Cable-Stiffened Structures, Proc. of the 26-th Japan National Congress for Appl. Mech., 1976. 3) Y. Maeda, H. Hagiwara, & K. Maeda: Large Deformation Analysis of Cable-Stayed Girder Bridges, Tech. Rep. of Osaka Univ. Vol. 24, 1974.